



FTR - Flight Test Report

Dieser Prüfbericht darf ohne schriftliche Zustimmung der EAPR nicht, auch nicht auszugsweise, vervielfältigt werden.

| | | | |
|------------|--------------------------------------------------------------------------------------------------------------------------------------------------------------------|-----------------|-------------------|
| Fabricante |  SOL SPORTS Rua Walter Marquardt, 1180 Jaraguá do Sul/SC - Brasil | Teste número | EAPR-GS-0751/17 |
| | | número de série | Proto |
| Modelo | Cyclus XL | Local | Gerlitzten |
| Comentar | | | |



Rev. 2.3 - 15.09.2015
 EAPR GmbH - Marktstr. 11
 D-87730 Bad Grönenbach - Germany

| | | | | |
|--------------------|--------------|--------|----------|-------------------------------------------------------------------------------------|
| Data de teste | 30.08.2017 | | |  |
| Piloto de testes | Pascal Purin | | | |
| Harnes | EAPR-Schwer | | | |
| Peso de descolagem | 105 kg | 105 kg | - 125 kg | |

Gama de pesos de decolagem

| | |
|---------------|----------|
| Classificação | B |
|---------------|----------|



Nachprüfung

| Test-critérios | Avaliação | |
|-------------------------------------------------------------------|-------------------------------------|---|
| 1. Inflar / descolagem - 4.4.1 | | |
| Comportamento a subida | Subida regular e facil | A |
| Tecnica especial requerida na descolagem | Não | A |
| 2. Aterragem - 4.4.2 | | |
| Tecnica especial requerida na aterragem | Não | A |
| 4. Força de mandos - 4.4.4 | | |
| Peso máximo em voo até 80kg | | - |
| Peso máximo em voo de 80 a 100kg | | - |
| Peso máximo em voo superior a 100kg | Aumentando >65 cm | A |
| 7. Estabilidade de roll e amortecimento - 4.4.7 | | |
| Oscilações | Reduzindo | A |
| 9. Behaviour exiting a fully developed spiral dive - 4.4.9 | | |
| Initial response of glider (first 180°) | Immediate reduction of rate in turn | A |
| Tendencia a voltar a voo recto | Saída espontânea | A |
| Angulo de rotação para recuperar voo normal | 720° a 1080, recuperação espontânea | B |
| 10. Fecho frontal cimétrico - 4.4.10 | | |
| Folding lines used | | |
| Entrada | Não | |
| Retoma | Baloça para traz menos de 45° | A |
| Angulo de cabceo a saída | Espontâneo em menos de 3 segundos | A |
| Castaca ocorre | 0° - 30° Mantem rumo | A |
| Entrada | Não | A |
| Retoma | Baloça para traz menos de 45° | A |
| Angulo de cabceo a saída | Espontâneo em menos de 3 segundos | A |
| Castaca ocorre | 0° - 30° Mantem rumo | A |
| Entrada | Não | A |
| Retoma | | - |
| Angulo de cabceo a saída | | - |
| Castaca ocorre | | - |
| 11. Saída de perda profunda (parachutagem) - 4.4.11 | | |
| Perda profunda alcançada | Sim | |
| Retoma | Espontâneo em menos de 3 segundos | A |
| Angulo de cabceo a saída | 0° - 30° | A |
| Mudançã de trajectória | Mudando direcção menos de 45° | A |

| | | | | | |
|------------------------------------------------------------------------------------------------------------------------------------------|----------------------------------------------------------------------------------------------------------------|-------------------------|-------------------------|-----------|---|
| Castaca ocorre | Não | A | | | |
| 12. Saída de angulo de ataque elevado - 4.4.12 | | | | | |
| Retoma | Espontâneo em menos de 3 segundos | A | | | |
| Castaca ocorre | Não | A | | | |
| 13. Saída de perda total - 4.4.13 | | | | | |
| Angulo de cabceo a saída | 0° - 30° | A | | | |
| Fecho | Nenhum fecho | A | | | |
| Cascata sucede (para alem de fecho) | Não | A | | | |
| Baloíça para traz | Menos de 45° | A | | | |
| Tensão de linhas | Tensão de quase todas as linhas | A | | | |
| 14. Fecho assimétrico (mãos em cima) - 4.4.14 | | | | | |
| Folding lines used | Não | | | | |
| Mudança de trajectória até re-inflar | <table border="1"> <tr> <td>< 90°</td> <td>Angulo de cabceo ou rol</td> <td>15° - 45°</td> </tr> </table> | < 90° | Angulo de cabceo ou rol | 15° - 45° | A |
| < 90° | | Angulo de cabceo ou rol | 15° - 45° | | |
| Comportamento a re-inflar | | Re-inflagem espontânea | A | | |
| Total mudança de trajectória | | Menos de 360° | A | | |
| Fecho no lado oposto ocorre | | Não | A | | |
| Twist alcançado | | Não | A | | |
| Castaca ocorre | Não | A | | | |
| Mudança de trajectória até re-inflar | <table border="1"> <tr> <td>90° - 180°</td> <td>Angulo de cabceo ou rol</td> <td>15° - 45°</td> </tr> </table> | 90° - 180° | Angulo de cabceo ou rol | 15° - 45° | B |
| 90° - 180° | | Angulo de cabceo ou rol | 15° - 45° | | |
| Comportamento a re-inflar | | Re-inflagem espontânea | A | | |
| Total mudança de trajectória | | Menos de 360° | A | | |
| Fecho no lado oposto ocorre | | Não | A | | |
| Twist alcançado | | Não | A | | |
| Castaca ocorre | Não | A | | | |
| Mudança de trajectória até re-inflar | <table border="1"> <tr> <td></td> <td></td> <td></td> </tr> </table> | | | | - |
| | | | | | |
| Comportamento a re-inflar | | | - | | |
| Total mudança de trajectória | | | - | | |
| Fecho no lado oposto ocorre | | | - | | |
| Twist alcançado | | | - | | |
| Castaca ocorre | | - | | | |
| Mudança de trajectória até re-inflar | <table border="1"> <tr> <td></td> <td></td> <td></td> </tr> </table> | | | | - |
| | | | | | |
| Comportamento a re-inflar | | | - | | |
| Total mudança de trajectória | | | - | | |
| Fecho no lado oposto ocorre | | | - | | |
| Twist alcançado | | | - | | |
| Castaca ocorre | | - | | | |
| 15. Controlo de direcção com fecho assimétrico mantido - 4.4.15 | | | | | |
| Capacidade de manter rumo | Sim | A | | | |
| Possibilidade de virar 180° em sentido oposto do lado fechado | Sim | A | | | |
| Percentagem de mando entre virar e perda ou autorotação | Mais de 50% de curso simétrico de mando | A | | | |
| 19. Bs - 4.4.19 | | | | | |
| Mudança de trajectória antes de largar | Mudando direcção menos de 45° | A | | | |
| Comportamento antes de largar | Mantem-se estável com envergadura recta | A | | | |
| Recuperação | Espontâneo em menos de 3 segundos | A | | | |
| Angulo de cabceo a saída | 0° - 30° | A | | | |
| Castaca ocorre | Não | A | | | |
| 20. Orelhas - 4.4.20 | | | | | |
| Procedimento de entrada | Técnica standard | A | | | |
| Comportamento com orelhas | Voo estável | A | | | |
| Recuperação | Espontâneo em menos de 3 segundos | A | | | |
| Angulo de cabceo a saída | 0° - 30° | A | | | |
| 24. Comentários do piloto de testes: | | | | | |
| | | | | | |
| | | | | | |
| | | | | | |
| | | | | | |
| Copyright Ralf Antz 2015 Este relatório de teste foi gerado automaticamente e é valido sem assinatura | | | | | |